

# ВНЕДРЕНИЕ ПЛАСТИЧНОГО ТЕЛА В ПРЕГРАДЫ ИЗ ХРУПКИХ МАТЕРИАЛОВ

А.С. Б а л а н к и н

В разработанной М.А. Лаврентьевым гидродинамической модели [1] ударяющее тело и преграда рассматриваются как идеальные несжимаемые жидкости. В этом случае глубина проникания ( $L$ ) стержня в преграду не зависит от скорости удара ( $\delta_0$ ) и определяется только его длиной ( $l_0$ ) и отношением плотностей материалов ударяющего тела ( $\rho_0$ ) и преграды ( $\rho_p$ ). Н.А. Златиным и А.А. Кожушко [2] проанализированы границы применимости гидродинамических модельных представлений в теории высокоскоростного соударения пластичных твердых тел и предложена модифицированная гидродинамическая модель, эмпирически учитывающая прочностные свойства преграды и ударника. В [3] рассмотрена динамика внедрения бойка, обладающего конечной прочностью в предположении о том, что торможение неизрасходованной части бойка определяется только ее жесткостью. Однако анализ экспериментальных результатов в рамках этой модели приводит к физически необоснованному выводу о существенном различии прочностных свойств преграды и ударяющего тела даже в том случае, когда они выполнены из одного и того же материала.

Очевидно, что подобный подход тем более неприменим к случаю внедрения пластичных тел в преграды из хрупких материалов (например, керамических), которые при динамическом нагружении деформируются только упруго вплоть до разрушения [4, 5], благодаря тому, что у них  $c_T > c_L$  [6] ( $c_L$  — скорость поперечного звука, совпадающая с предельной скоростью перемещения дислокаций;  $c_T$  — предельная скорость роста трещин; в идеальной жидкости  $c_L = c_T = 0$  и возможен лишь сверхзвуковой, атермический рост трещин с  $c_{TA} > c_L$ ,  $c_L$  — скорость продольного звука). Механизм разрушения хрупких тел существенно определяется скоростью нагружения. При  $\omega < c_T$  разрушение происходит путем трещинообразования вследствие взрывного распада дилатонов [7, 8]. При  $\omega > c_L$  процесс разрушения можно представить как процесс диссоциации путем необратимого разрыва межатомных связей [5]. В [5] в рамках диссоциативного разрушения рассмотрена задача о внедрении недеформируемого цилиндрического стержня в керамические преграды в предположении, что при  $\omega > c_L$  вся кинетическая энергия стержня расходуется на диссоциацию материала преграды.

Здесь мы исследуем особенности проникания стержней из пластичных материалов (которые при интересующих нас скоростях проникания можно рассматривать в рамках модели идеальной несжимаемой жидкости, если  $c_{L_0} < \omega < c_{T_0}$  или сжимаемой жидкости при  $\omega > c_{L_0}$ ) в преграды из хрупких материалов. Анализ задачи в рамках кинетической концепции прочности С.Н. Журкова [7, 8], дополненной уч-

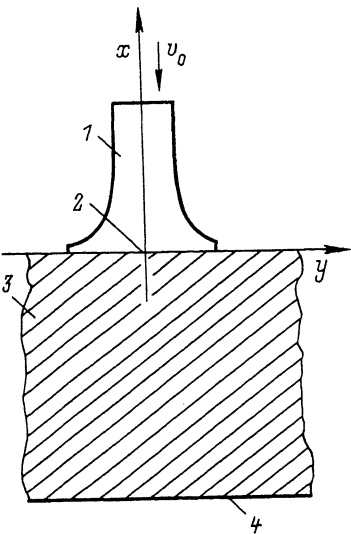


Рис. 1. Картина взаимодействия ударного тела с преградой до начала внедрения (в плоскости  $x-y$ ). 1 - ударяющее тело, 2 - плоскость контакта тела - преграда, 3 - преграда, 4 - тыльная поверхность преграды.

том (наряду со спонтанными (тепловыми) флюктуациями плотности  $\delta\rho$ ) индуцированных  $\delta\rho$  (вызванных внешним воздействием или временным изменением граничных условий), позволяет выделить три различных режима внедрения пластичного тела в хрупкую среду в зависимости от скорости проникания:

$$1. \alpha < c_T; \quad 2. c_T < \alpha < c_f; \quad 3. \alpha > c_f. \quad (1)$$

1) При сравнительно невысоких скоростях удара ( $\alpha < c_T$ ) прочность хрупких материалов ( $c_f < c_T$ ) определяется поверхностной прочностью на сдвиг, которая существенно понижается на границе раздела хрупкое тело - металл [9-11]. Покажем, что данное обстоятельство находит естественное объяснение в рамках флюктуационного механизма разрушения. Для этого воспользуемся выражением для функционала свободной энергии дилатонов:

$$F = \int dx \left\{ \left( \frac{\partial \eta}{\partial x} \right)^2 - U(\eta) \right\} + a_- \eta^2 (-h) + a_+ \eta^2 (0), \quad (2)$$

где  $\eta$  - параметр порядка,  $h$  - толщина преграды (см. рис. 1). А выражение  $U(\eta)$  имеет вид (отличающийся от рассмотренного в [12] наличием кубического члена, появляющегося при учете индуцированных  $\delta\rho$ ):

$$U(\eta) = \frac{C(\hat{G})}{2} \eta^2 + \frac{b_1}{3} \eta^3 + \frac{b_2}{4} \eta^4. \quad (3)$$

Коэффициенты  $b_1, b_2$  выражаются через физические параметры материала преграды и в первом приближении не зависят от напряжений  $\hat{G}$ , возникающих в плоскости контакта преграда - ударник, а  $C(\hat{G}) = C_0 (\hat{G} - G_{pr}^0)$ , где  $G_{pr}^0$  - предел прочности материала преграды на сдвиг. Уравнение на  $\eta(x)$  получается варьированием

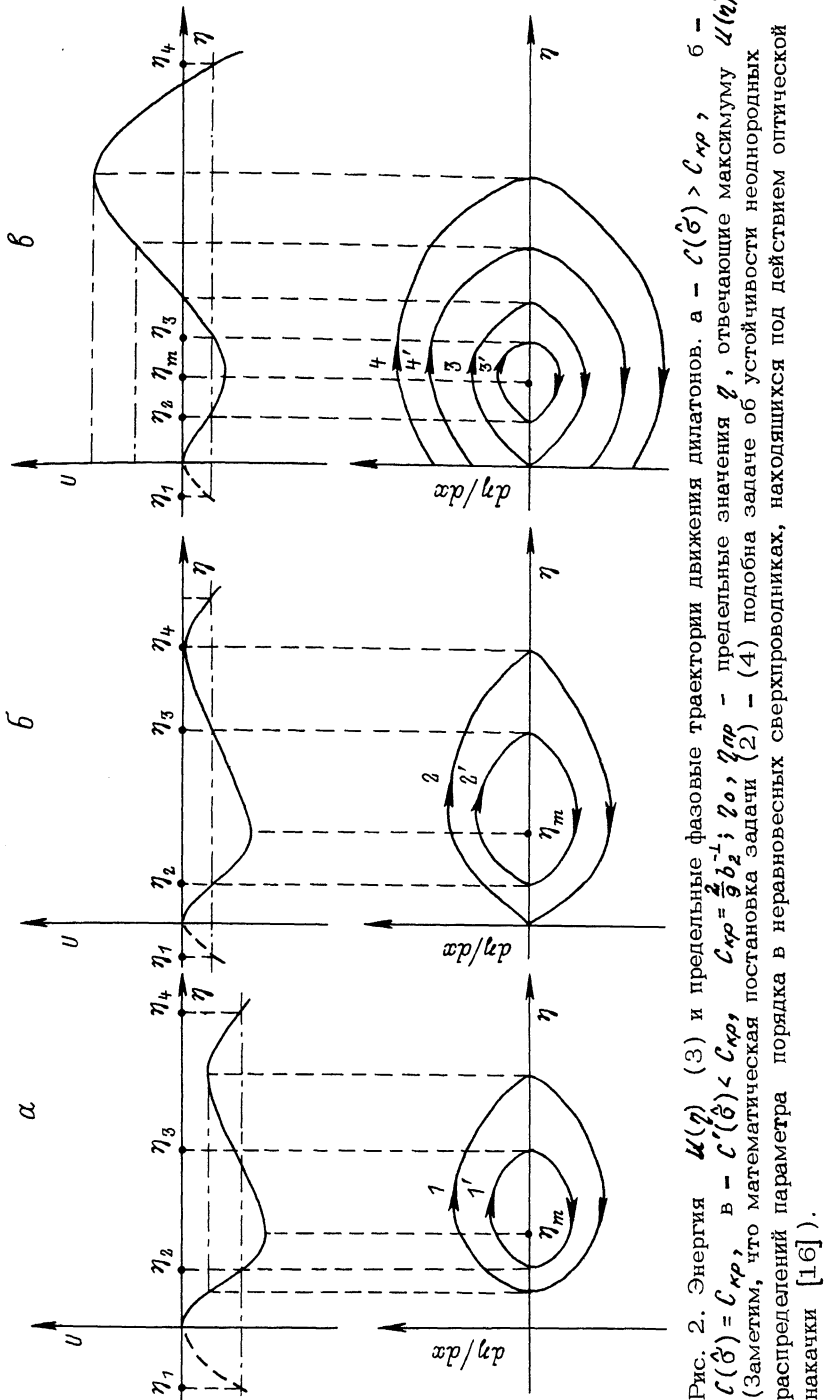


Рис. 2. Энергия  $\mathcal{E}(\dot{\delta})$  (3) и предельные фазовые траектории движения дипатонов. а -  $E(\dot{\delta}) > \mathcal{E}_{kp}$ , б -  $\mathcal{E}(\dot{\delta}) = \mathcal{E}_{kp}$ , в -  $\mathcal{E}(\dot{\delta}) < \mathcal{E}_{kp}$ ,  $\mathcal{E}_{kp} = \frac{2}{9}b_2^2$ ;  $\eta_0 = \eta_{kp}$ ,  $\eta_m = \eta_{kp}$  - предельные значения  $\eta$ , отвечающие максимуму  $\mathcal{E}(\eta)$ . (Заметим, что математическая постановка задачи (2) - (4) подобна задаче об устойчивости неоднородных распределений параметра порядка в неравновесных сверхпроводниках, находящихся под действием оптической неканки [16].)

функционала (2), (3). Границные условия на поверхности контакта ударника с преградой и на тыльной стороне преграды ( $\alpha_- = 0$  на границе преграды — вакуум (воздух) и  $\alpha_+ > 0$  на границе преграды — металл):

$$\frac{\partial \eta}{\partial x} / \pm = \alpha_{\pm} \eta. \quad (4)$$

Фазовые траектории (2) с энергией (3) показаны на рис. 2.

Видим, что при  $C(\delta) > C_{kp} = \frac{2}{9\epsilon_2}$  возможны солитонные решения

для дилатонов, кумулирующих энергию ударной волны при  $c_T > u$ .<sup>1</sup> Анализ показывает, что при  $\alpha_+ \neq 0$  солитонные решения устойчивы. Движение дилатонов со скоростью  $c_T$  в хрупкой среде сопровождается ростом трещин от поверхности контакта с ударяющим телом. При этом материал преграды будет дробиться и переходить в сыпучее состояние, поэтому при  $u < c_T$  внедрение бойка идет фактически в сыпучую среду<sup>2</sup> и глубина проникания не зависит от прочностных свойств материала преграды.

2) При  $c_T < u < c_\zeta$  за фронтом ударной волны, формируемой в момент удара бойка о преграду, образуется упорядоченная диссипативная структура солитоноподобных флуктуаций сжатия и разряжения (в неравновесной термодинамике показано, что открытая система способна к саморегулированию с уменьшением энтропии, т.е. она формирует канал диссипации закачиваемой в нее энергии [14]). Новый тип организации обуславливает когерентное пространственно-временное поведение конденсированной среды с динамическими процессами внутри нее, так что процесс внедрения бойка в хрупкие материалы при  $c_T < u < c_\zeta$  можно рассматривать в рамках модифицированной гидродинамической модели [2]. При этом, благодаря высокой твердости  $H_o \approx \frac{1}{2} \rho_o c_T^2$  хрупких тел, глубина проникания в них бойка оказывается значительно меньше классического гидродинамического значения.

3) При  $u > c_\zeta$  процесс разрушения носит диссоциативный характер. В этом случае уравнения движения бойка принимают вид:

$$\begin{aligned} l \rho_o \frac{d v_x}{dt} &= -\frac{v_x}{2 u_x} \rho_o D_o u_x = -\frac{v_x}{2 u_x} \rho_o D_o (v_x - u_x) \\ \frac{dl}{dt} &= u_x; \quad \frac{dv}{dt} = -(v_x - u_x); \quad \nabla \vec{v} = 0, \end{aligned} \quad (5)$$

<sup>1</sup> Зависимость вида и устойчивости солитонных решений от условий на границах (4) обуславливает влияние внешней среды на прочностные свойства материалов.

<sup>2</sup> Энергия, затрачиваемая на разрушение хрупкой среды, пренебрежимо мала по сравнению с кинетической энергией бойка (см. [13]).

где  $D_i = c_i + \lambda_i \cdot u_i$  — скорости ударных волн в преграде ( $i = n$ ) и внедряющемся стержне ( $i = 0$ ,  $u_0 = (u_x - u_y)$ ). Торможение бойка происходит вследствие увеличения площади контакта по мере проникания в преграду. Глубина, на которую внедрится боек до того, как скорость проникания сравняется с  $c_j$ , определяется выражением:

$$L \approx l_0 \sqrt{\frac{\lambda_0 \rho_0}{\lambda_n \rho_n}} \left\{ 1 - \left[ \frac{c_j^2 (1 + \lambda_n) \left( 1 + \sqrt{\frac{\rho_n \lambda_n}{\rho_0 \lambda_0}} \right)}{\lambda_n v_0^2 + c_j u_0 \left( 1 + \sqrt{\frac{\rho_n \lambda_n}{\rho_0 \lambda_0}} \right)} \right]^{2 \sqrt{\frac{\lambda_0 \rho_0}{\lambda_n \rho_n}}} \right\}. \quad (6)$$

Подчеркнем, что формирование колоколообразных кратеров при ударе металлических стержней о хрупкие материалы наблюдалось экспериментально [15], что может служить подтверждением предлагаемой модели (5), (6). Так, при ударах  $Al$  бойком по натрово-известковому стеклу и плавленному кварцу кратеры становятся колоколообразными при скоростях удара выше 12 и 6 км/с соответственно.

Автор глубоко признателен А.А. Кожушко, А.А. Любомудрову, С.Г. Пугачеву и И.Т. Севрюкову за полезные обсуждения результатов работы.

#### Л и т е р а т у р а

- [1] Лаврентьев М.А. — УМН, 1957, т. 12, № 4, с. 76—91.
- [2] Златин Н.А., Кожушко А.А. — ЖТФ, 1982, т. 52, № 2, с. 330—334.
- [3] Сагомонян А.Я. Проникание, М.: МГУ, 1974. 261 с.
- [4] Пугачев Г.С. Автореферат дисс., Л.: ЛФТИ, 1985. 36 с.
- [5] Шевченко В.Я., Изотов А.Д., Лазарев В.Б., Жаворонков Н.М. — Изв. АН СССР, сер. Неорг. мат., 1984, т. 20, № 6, с. 1047—1052.
- [6] Баланкин А.С. Автореферат дисс., М.: МИФИ, 1986. 18 с.
- [7] Журков С.Н. — ФТТ, 1983, т. 25, № 10, с. 3119—3123.
- [8] Петров В.А. — ФТТ, 1983, т. 25, № 10, с. 3124—3127.
- [9] „Ballistic Materials and Penetration Mechanics“ Edited by Roy C. Laible (v. 5 of Methods and Phenomena) Amsterdam—Oxford—New York, 1980, p. 225—250.
- [10] Лихтман В.И., Шукин Е.Д., Ребиндер П.А. — Физико-химическая механика металлов, АН СССР, 1962. 303 с.

- [11] Андреевский Р.А., Ланин А.Г., Рымашевский Г.А. Прочность тугоплавких соединений, М.: Металлургия, 1974. 252 с.
- [12] Мелькер А.И., Овидько И.А. - ФТТ, 1985, т. 27, № 2, с. 594-597.
- [13] Дианов М.Д., Златин Н.А., Пугачев Г.С., Ресомахо Л.Х. - Письма в ЖТФ., 1979, т. 5, № 11, с. 692-694.
- [14] Хакен Г. Синергетика, М.: Мир, 1980. 404 с.
- [15] Механика образования воронок при ударе и взрыве. Сборник переводов, М.: Мир, 1977. 227 с.
- [16] Елесин В.Ф., Кашурников В.А. - ЖЭТФ, 1985, т. 88, № 1, с. 145-156.

Поступило в Редакцию  
28 октября 1987 г.  
В окончательной редакции  
8 января 1988 г.

Письма в ЖТФ, том 14, вып. 13

12 июля 1988 г.

## ФИЗИЧЕСКИЕ АСПЕКТЫ ЭФФЕКТА КУМУЛЯЦИИ

А.С. Баланкин, А.А. Любомудров,  
И.Т. Севрюков, Г.Н. Яневич

Для объяснения эффекта увеличения разрушающего действия зарядов взрывчатого вещества, имеющих полости с металлическими облицовками, была создана гидродинамическая теория кумуляции. Однако уже в [1] отмечалось, что „накопилось достаточное количество фактов, не укладывающихся в теорию и требующих для своего объяснения существенных добавлений к теории”. Развитие феноменологических модификаций гидродинамического подхода [2, 3], несмотря на очевидные успехи, не позволяет решить проблему в целом, что вполне естественно, т. к. в процессе формирования и проникновения в преграду кумулятивная струя (КС) находится в твердой (кристаллической) фазе [4-6]. Попытки решить проблему в рамках классической концепции пластичности [7, 8] твердых тел несостоятельны, т.к. скорость движения дислокаций (двойников, межзеренных границ и т.п.), обеспечивающих пластическую деформацию (согласно классическим представлениям), не может превышать скорость поперечного звука ( $C_f \approx 1.5-3$  км/с), в то время как „гидродинамический режим” течения твердых тел наблюдается при деформации со скоростью, как меньше, так и больше  $C_f$ , но меньше скорости продольного звука  $C_L$ .

В настоящей работе предлагается новый подход к проблеме осесимметричной кумуляции, основанный на кинетической концепции фи-